

# $\mathbb{A}^2$ の rational ruled surfaces

への埋め込みについて

京大 理数 森重文

## §1. 序

Morrow [1] において、 $\mathbb{A}^2_{\mathbb{C}}$  の minimal normal compactification (の boundary の configuration) が決定されているが、これから得られる標数  $p$  の場合の結果 (c.f. Lemma 4) を参考にして次の問題を考える。

問題:  $k$  を代数的閉体 (標数  $\geq 0$ ) とし、non-sing. algebraic surface  $S$ 、non-sing. proj. surface  $F$  ( $S$  と  $F$  は birational) を与え、すべての embedding  $S \rightarrow F$  を決定もしくは分類せよ。

しかし、これは一般的すぎるので、 $S = \mathbb{A}^2$ 、 $F$  としては rational ruled surfaces ( $F_0, F_1, \dots$  c.f. Nagata [1]) をとる。

Morrow [1] では boundary ~~の~~ 状態に制限が付き、この問題では boundary の状態は全く制限が (見かけ上は) 付いていないから、Morrow [1] から直ちに結論が得られるわけではない。ここでは embedding を分類し、すべての embedding を得る

方法を手えることを目標にしている。

話の進みくおいて、一般的な comment を § 3 に持っ  
てしま、たので話がちぐはぐなを > ている所は § 3 を見て  
下さい。(何も書いてないかも知れなけれど。)

§ 2. 例と birat. correspondences J, R, L の定義、そして結論。

Example 1.  $A^2 \xrightarrow{i} P^2$  を任意の embedding とする。  $l = P^2 - i(A)$   
は line になっている (c.f. Th. 0)。  $l \ni p$  とする。

$$A^2 \xrightarrow{\alpha_{-1}} \text{dilat } P^2 = F_1 \xrightarrow{\text{def.}} H_1 \quad \text{dilat}_p(p) = s_{-1}, \quad \text{dilat}_p[l] = g_{-1} \text{ とおく。}$$

$g_{-1} - s_{-1} \ni \bar{g}$  によって  $\text{elm}_{\bar{g}}$  を行なえば  $\text{elm}_{\bar{g}}[s_{-1}] \ni s_0, \text{elm}_{\bar{g}}(g_{-1}) \ni g_0$

$$\text{embedding } A^2 \xrightarrow{\alpha_0} H_0 \quad H_0 - \alpha_0(A^2) = s_0 \cup g_0, \quad (s_0^2) = 0, \quad (g_0^2) = 0$$

更に  $g_0 - s_0 \ni \bar{g}$  をより同様の事をくりかえして、 $n \geq 0$  によって

$$\text{embedding } A^2 \xrightarrow{\alpha_n} H_n \quad H_n - \alpha_n(A^2) = s_n \cup g_n, \quad (s_n^2) = n, \quad (g_n^2) = 0$$

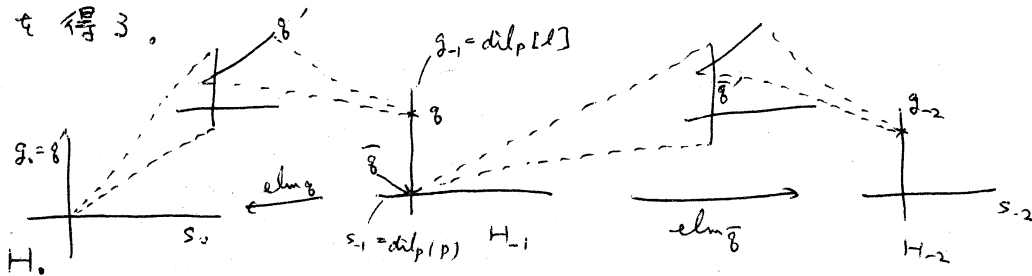
又  $g_{-1} \cap s_{-1} \ni \bar{g}$  によって  $\text{elm}_{\bar{g}}$  を行なえば

$$\text{embedding } A^2 \xrightarrow{\alpha_{-2}} H_{-2} \quad H_{-2} - \alpha_{-2}(A^2) = s_{-2} \cup g_{-2}, \quad (s_{-2}^2) = -2, \quad (g_{-2}^2) = 0$$

これをくりかえして  $n \leq -1$  についても

$$\text{embedding } A^2 \xrightarrow{\alpha_n} H_n \quad H_n - \alpha_n(A^2) = s_n \cup g_n, \quad (s_n^2) = n, \quad (g_n^2) = 0$$

を得る。



Example 2 rational ruled surface  $s_3$ . 2本の section を除く  
た残り  $\mathbb{A}^2$  に存在する例。

example 1 の  $d_n$  ( $n \geq 1$ ) をとる。

$$s_n - g_n \rightarrow \tilde{P}_1 \text{ と } 3$$

右図を参照 (この  $n$  は int. number)

step (1) ~ step (n+1)

~~$s_n$  を  $\tilde{P}_1$  上の point.  $\tilde{P}_1$  の~~

blow-up.

step (n+2):  $P_{n+1} - (s_n \cup P_n') \rightarrow \tilde{P}_1 \text{ と } 3$

dil  $\tilde{P}_1$

step (n+3):  $g_n$  を忘れて残りの curve を見る。

$s_n$  と  $\tilde{P}_1$  は対称的 (self-int., ~~self~~)

他の curve との intersection e.t.c. (2 つずつ)

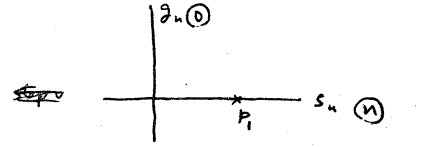
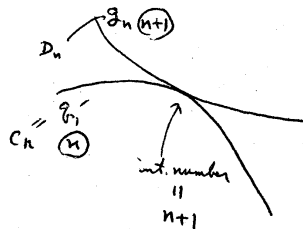
よから、今までの逆操作で  $s_n, P_{n+1}, P_n',$

...,  $P_1'$  と順に contract (して step (n+3) へ向かう)。

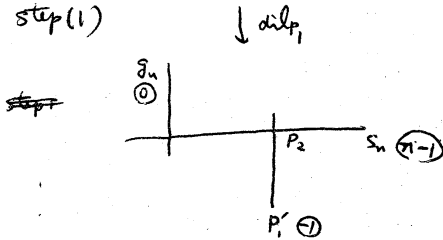
従って下図の embedding を得る。

$$\mathbb{A}^2 \xrightarrow{P_n} G_n \quad G_n - P_n(\mathbb{A}^2) = C_n \cup D_n$$

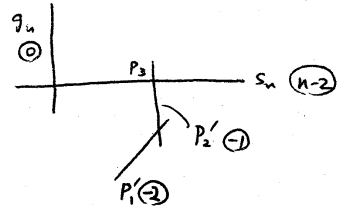
$$\begin{cases} C_n^2 = n \\ D_n^2 = n+1 \\ C_n \cdot D_n = n+1 \end{cases}$$



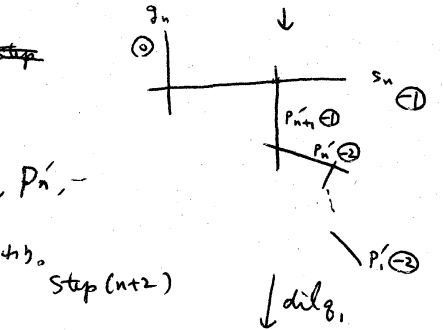
step (1)



dil  $P_2$

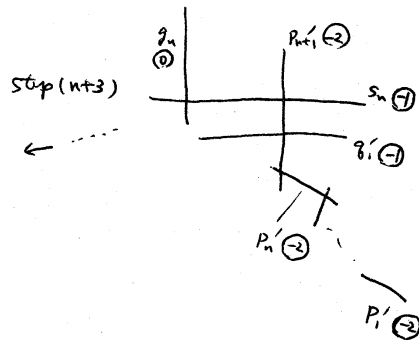


step (n+1)



step (n+2)

dil  $\tilde{P}_1$



step (n+3)

[注]  $G_n$  が ruled surface に存在することは §3 参照.

$G_n$  が  $\mathcal{V}$  の type ( $F_2$  に存在するか) はたつた  $\mathcal{V}$  (point  $P_1, P_1'$  のとり方で異なる type に有り得る.)

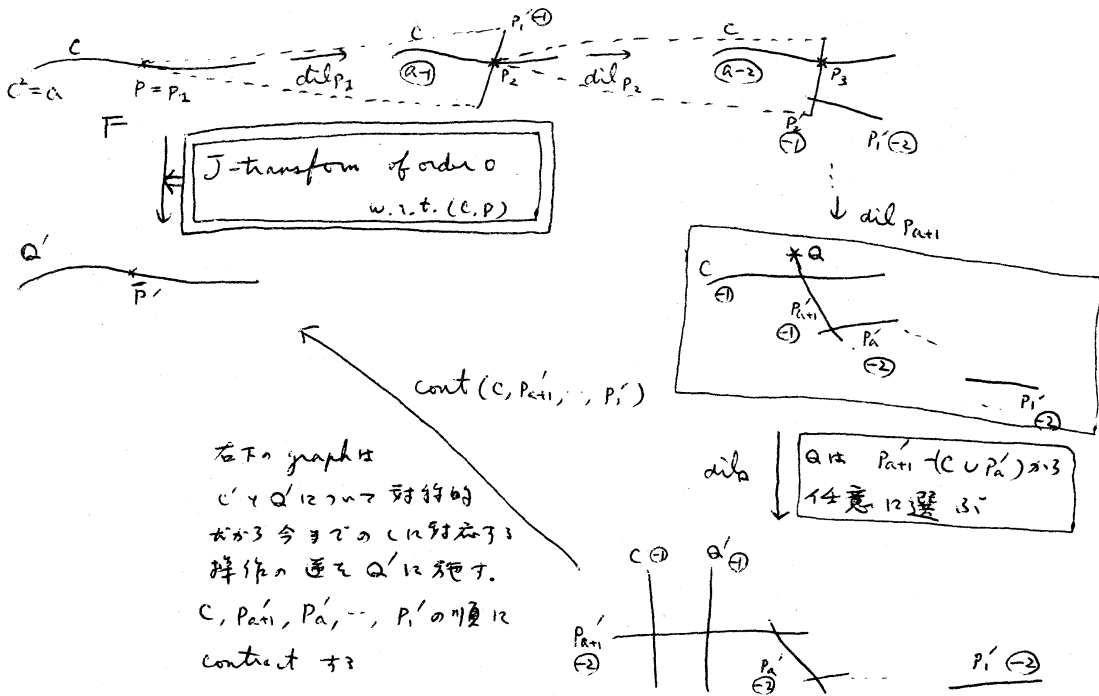
example 1 の  $n$  から  $p_n$  を作る birat. con.  $F_n \xrightarrow{p_n \text{ od } n} G_n$  は J-transform ( $(S_n, R)$  に使う.) である. (c.t. 定義 1)

定義 1. complete non-singular surface  $F$  上の curve  $C$  が  $(*)_2$

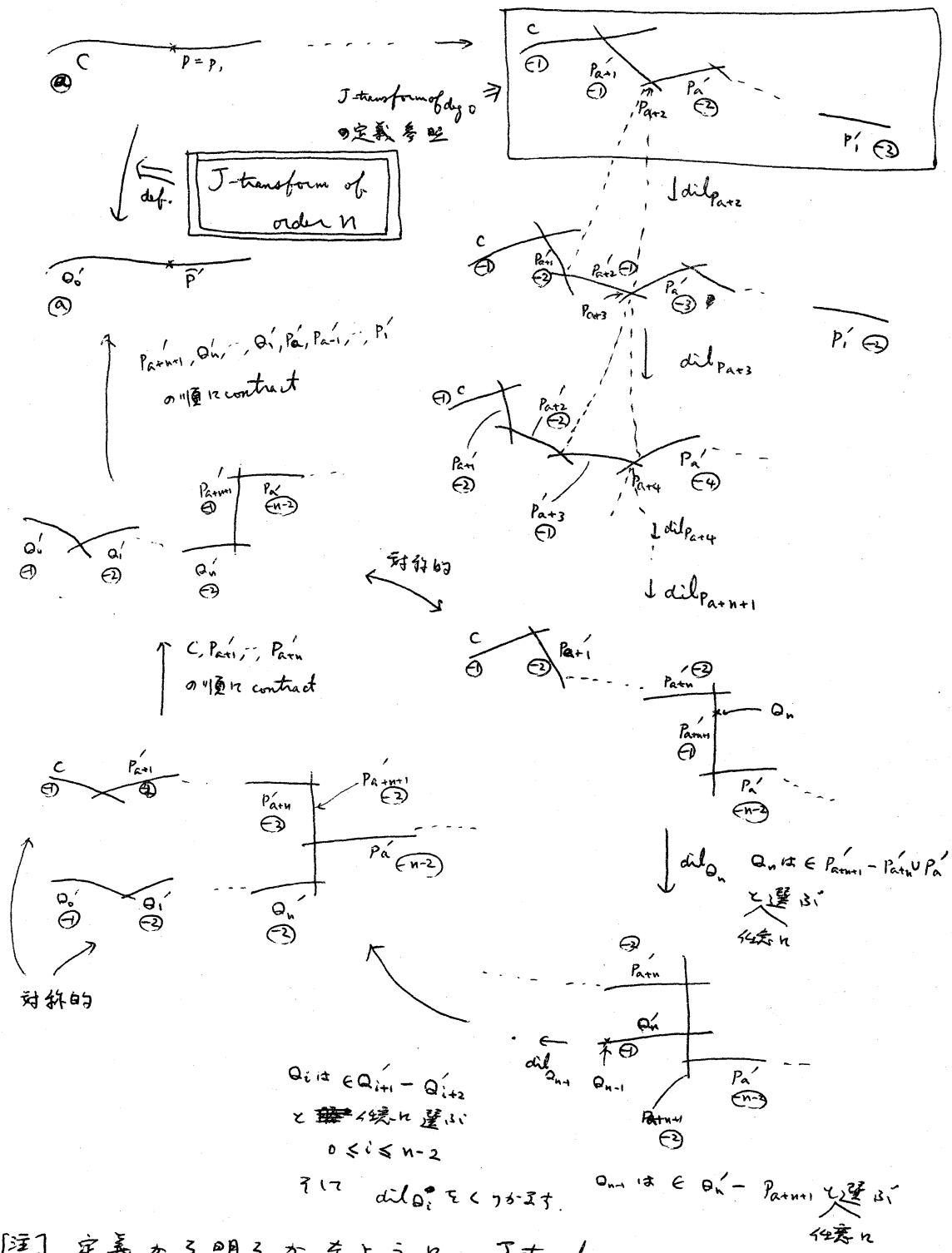
$$(*)_2: C \cong \mathbb{P}^1 \text{ (isom.) } C^2 \geq 0$$

を満たす時,  $C$  上の point  $P$  について  $(C, P)$  に使う order  $n$  の J-transform する birat. con. を次のように定義する.  $n \geq 0$

(order  $n$  を明記しなかつたり,  $P$  を略したりして, J-transform w.r.t.  $C$ , 又は単に J-transform と呼ぶこともある.)



右の graph は  $C$  と  $Q'$  による対称的グラフが今までの  $C$  に対応する操作の逆を  $Q'$  に施す.  $C, P_{n+1}, P_n', \dots, P_1'$  の順に contract する



[注] 定義から明らかである。J-transform は  $n, c, p$  のみによって定まるのではなく、かなり任意性がある。

定義 1.  $\mathcal{S}$  直ちに次の事がわかる。

Lemma 1 complete non-singular surface  $F$  上の curve  $C$  が  $(*)$ ,  $\mathcal{E}$  を満たす  
 $\chi$  する。  $F \xrightarrow{\chi} F'$  は birat. con. の J-transform of order  $n$  w.r.t.  $(C, P)$   
 $\chi$  する時。  $C' = \chi(C)$  ( $\leftarrow$  total transform)  $\chi$  は  $\chi^{-1}$ 。

(1)  ~~$\chi$~~   $\chi|_{F-C} : F-C \xrightarrow{\sim} F'-C'$  は isom.  $\tau(C'-C) = (C-C)$

(2)  $\chi^{-1}$  の fundamental pt. は  $1 \leq P' \in C'$  だけあり

$\chi$  は  $(*)$ ,  $\mathcal{E}$  を満たし、 $\chi^{-1}$  は J-transform of order  $n$  w.r.t.  $(C', P')$

(3)  $\psi : F' \rightarrow F''$  は bir. con. の J-transform ~~は~~ w.r.t.  $(C', P')$  なら

$\psi \circ \chi : F \rightarrow F''$  は J-transform w.r.t.  $(C, P)$

[例]  $F = \mathbb{P}^2$   $C = \text{line} \Rightarrow P = (0, 0, 1)$   $\chi$  は  $\chi^{-1}$

$(x_0, x_1, x_2)$   $\begin{cases} x_0 = 0 \end{cases}$

J-transform of order  $n$  w.r.t.  $(C, P)$  は

degree  $(n+2)$  の Jonquier transformation に対応する。

(c.f. Nagata [3])

bir. con.  $\mathcal{L}(S)$   $\begin{matrix} S & \xrightarrow{\chi} & F \\ \xrightarrow{\varphi} & & F \end{matrix}$   $\mathcal{E}$  non-sing. alg. surfaces,  $F$  complete  $\chi$   $\mathcal{L}$

$F - \varphi(S) = C \cup D$   $C, D$  は  $\neq$  なる curve

$C$  は  $(*)$ ,  $\mathcal{E}$  を満たす  $\chi$  する。  $P \in C - D$  を任意に  $\chi$  する

$\varphi : F \rightarrow F'$  は J-transform w.r.t.  $(C, P)$   $\chi$   $\mathcal{L}$

$C' = \varphi(C)$ ,  $D' = \varphi[D]$  ( $\leftarrow$  proper transform)  $P' = (\text{fun. pt. of } \varphi^{-1})$   $\chi$   $\mathcal{L}$

$S \xrightarrow{\varphi^{-1}} F'$   $\mathcal{E}$  embedding  $\tau$  なら  $F-S = C' \cup D'$ ,  $P' = C' \cap D'$

Lemma 2  $C'$  は  $(*)$ ,  $\mathcal{E}$  を満たし  $(C' \cdot D') \geq (C \cdot D)$

もし  $(C \cdot D) \geq 2$  ならば

$D$  は  $(*)_1, (*)_2$  も満たさる (c.f. 定義 4)

Th. 0  $A^2 \hookrightarrow \mathbb{P}^2$  を任意の embedding とす  $\mathbb{P}^2 - A^2$  は line であり、~~任意の 2 つの embedding~~ のように 2 つの embedding は

J-transform w.r.t.  $\mathbb{P}^2 - A^2$  を有限回施すと  $\mathbb{P}^2 - A^2 \rightarrow \mathbb{P}^2 - A^2$  互いに

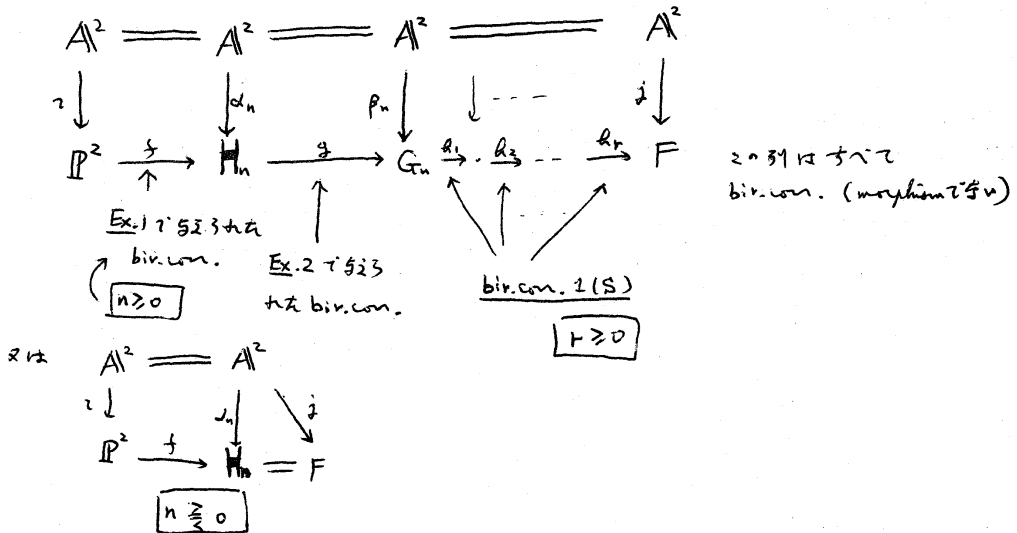
同値を得る. (c.f. Nagata [3])

Th. 1  $A^2 \xrightarrow{j} F$  を int. ruled surface  $\wedge$  の任意の embedding とす.

( $F - A^2$  の component の 5-方が non-singular ならば)

~~任意~~  $A^2$  の  $\mathbb{P}^2$  への適当な embedding  $i$  を  $\mathbb{P}^2 - i(A^2) = \infty$ -line

とすようなものがとれて、次の diagram が可換になる。



このような分解  $j = h_r \circ \dots \circ h_1 \circ g \circ f \circ i$  を standard な分解と呼ぶ。

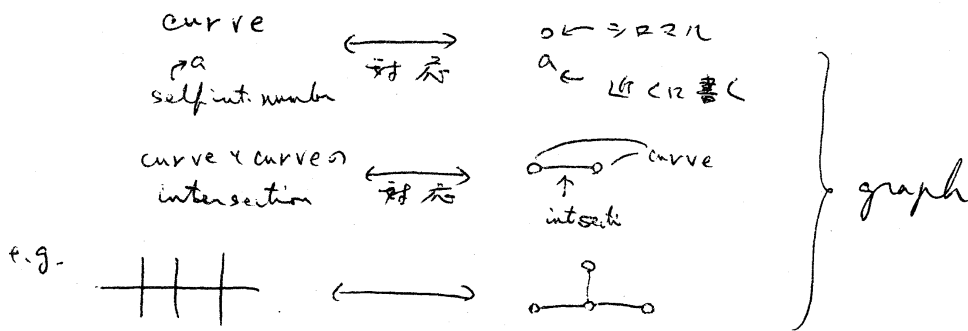
(下の場合は  $g = \text{id}$ ,  $r=0$  とする。)

Th. 2 Th. 1 において  $j$  が与えられた時、~~任意~~

$\forall$  2 つの standard な分解  $j = h'_{r'} \circ \dots \circ h'_1 \circ g' \circ f' \circ i' = h_r \circ \dots \circ h_1 \circ g \circ f \circ i$

について、 $r=r'$ ,  $n=n'$  ( $n$  は  $f \circ i$  に対応する  $d_{\text{nc}}$  の数)  
 として、もし  $n \geq 0$  ならば  $i=i'$ ,  $f=f'$ ,  $k_i = k'_i \quad 1 \leq i \leq r$   
 である。

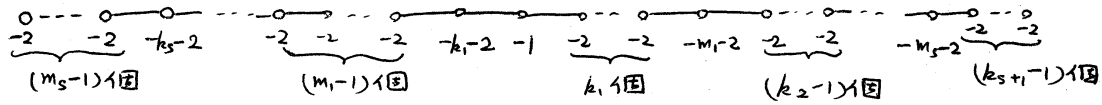
以上で  $F-A^2$  の 2 つの component のうち、一方が non-sing. の時は片付いた事になるが、実際は  $F-A^2$  の component が 2 つとも sing. pt. をもつことがある。そのまゝに normal crossing の reducible curve の "graph" を定義する。(c.f. Morrow [13])



Lemma 3  $S, S' \in$  non-sing. alg. surfaces.  $S' \xrightarrow{\pi} S$  is proper birat. morphism  $\wedge$   $U \subset S \ni p, S' - \pi^{-1}(p) \xrightarrow{\sim} S - p$  である。この時、 $\pi^{-1}(p)$  は normal crossing  $\pi^{-1}(p)$  の component  $C \cong \mathbb{P}^1$  であるが、更に  $\pi^{-1}(p)$  の graph が linear (i.e.  $o-o-\dots-o$  の形) ならば、

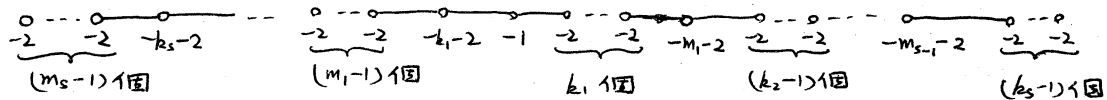
(1) その graph は次のようになる。

Case 1.

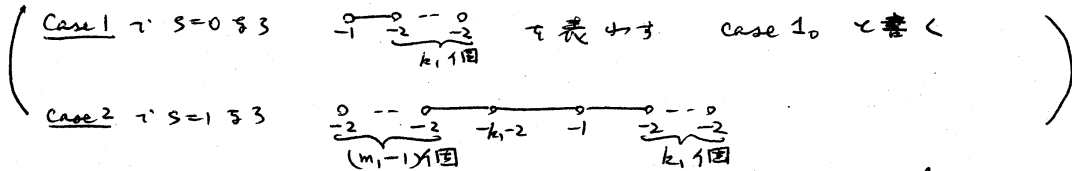


$$\left. \begin{array}{l} \text{左側} \\ \text{右側} \end{array} \right\} \begin{array}{l} s \geq 0 \\ k_i, m_j \geq 1 \end{array} \quad \begin{array}{l} \text{とす} \\ m_1, \dots, m_s ; k_1, \dots, k_{s+1} \end{array}$$

Case 2.



$$\left. \begin{array}{l} \text{左側} \\ \text{右側} \end{array} \right\} \begin{array}{l} s \geq 1 \\ k_i, m_j \geq 1 \end{array} \quad m_1, \dots, m_{s-1} ; k_1, \dots, k_s$$



逆に Case 1 又は Case 2 のような graph をもつ normal crossing curve  $\tau$  の component  $\tau_i \cong \mathbb{P}^1$  存在。その curve は  $\tau$  一種の例外曲線  $\tau$  non-singular pt. に contract  $\tau$  できる。

(23)  $S > l$  或  $p$  を通る non-sing. curve とす  $l \cdot \pi^{-1}(p) = 1$  とあり

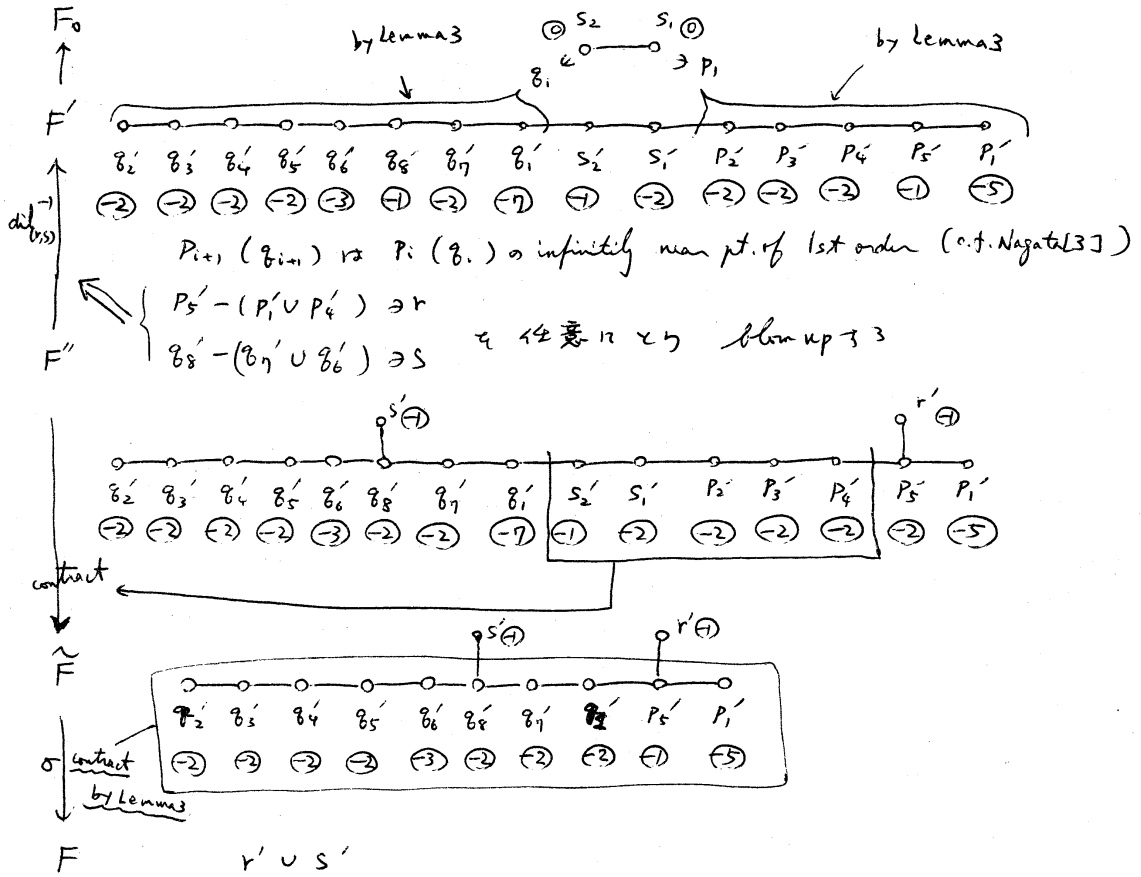
$l \cap \pi^{-1}(p)$  は Case 1 ( $\tau$  case 1  $\tau$  或  $\tau$ ) 存在は一番左の curve 上  
右側の  $k_{s+1}$  個の curve 上にある。

Case 2 存在は一番右か左側の  $m_s$  個の curve 上にある。

Example 4  $F_0 = \mathbb{P}^1 \times \mathbb{P}^1$  上の座標を  $(x_0=x_1) \times (y_0=y_1)$  とし

$S_1 = (0:1) \times \mathbb{P}^1, S_2 = \mathbb{P}^1 \times (0:1)$  とし

$P_1 \in S_1 - S_2, P_2 \in S_2 - S_1$  を任意にとる。



$A^2 \rightarrow F$  is embedding  $\tau: F - A^2$  is component of sing. pt.  $\tau \in \tau$ .

( $\textcircled{1}$  map  $\sigma$  is Lemma 3. (2) is applicable)

[注] 20 example is Th. 3 of case (2)  $s=b=1$  of the case.

$\tilde{F}$  is  $r' \cup s'$ ,  $r'$  is minimal normal resolution (c.f. Definition 2)

Definition 2: non-sing. proj. surface  $F \supset D$  curve (may be reducible)

$F' \xrightarrow{\sigma} F$  is non-sing. proj. surface  $F' \ni 3$  a h.r. nor.  $\varphi$  is  $D$  of normal resd.

$\varphi$  is  $\iff$   $\left. \begin{array}{l} (1) F' - \varphi^*(D) \xrightarrow{\tilde{\varphi}} F - D \\ (2) \varphi^*(D) \text{ is normal crossing } \varphi \ni 3 \text{ } \varphi \ni 3 \end{array} \right\}$

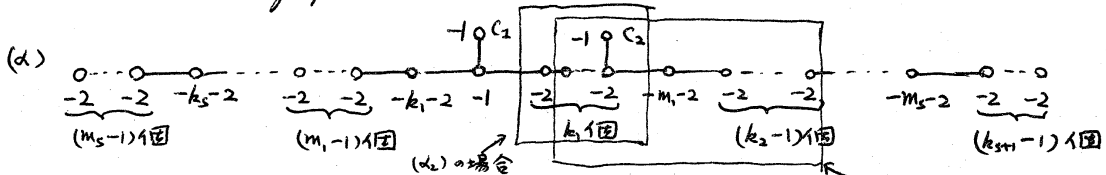
又.  $F, D \in \mathbb{C}$  is left time.  $D$  of normal resolution of  $\sigma \ni 3$  is.

domination の意味で最小のもつ、即ち  $\tilde{F} \xrightarrow{\sigma} F$  なる  $D$  の normal resol. が存在して  $\forall F' \xrightarrow{\psi} F$  なる  $D$  の normal resol. に対して  $F' \xrightarrow{\varphi} \tilde{F}$  morphism s.t.  $\varphi = \sigma \circ \psi$  があつた。これは同型を除いて unique に定まる  $D$  の minimal normal resol. と呼ぶ。

[註]  $\sigma^{-1}(D)$  の graph を  $D$  の minimal normal resol. の graph と呼ぶ。

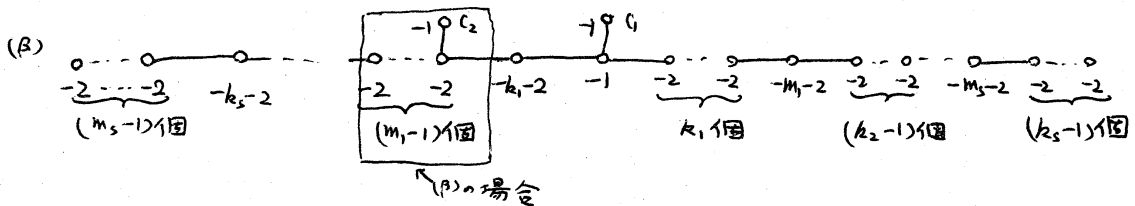
定義3:  $\mathbb{A}^2 \hookrightarrow F$  ( $F$  は rational ruled surface) なる embedding が normalized embedding であるとは、 $F - \mathbb{A}^2$  の component が 2 つとも singular pt. をもち、 $F - \mathbb{A}^2$  の minimal normal resol.  $F' \xrightarrow{\varphi} F$  であるとき  $F' \supset E(\varphi) = \{\varphi \text{ の exc. locus} \}$  の graph が linear (i.e.  $\circ \cdots \circ$ ) なものである。

Th. 3  $\mathbb{A}^2$  の normalized embedding  $\mathbb{A}^2 \hookrightarrow F$  について、 $F - \mathbb{A}^2$  の minimal normal resol. の graph は、次のような図により与えられる。



左に  $\begin{pmatrix} s \geq 1 \\ b \geq 1 \end{pmatrix}$  のとき (A)  $\begin{cases} m_1 = b+1, m_2 = \dots = m_s = b \\ k_1 = b+3, k_2 = \dots = k_{s+1} = b+6 \end{cases}$

又は (A\_2)  $\begin{cases} m_1 = \dots = m_s = b \\ k_1 = b+2, k_2 = \dots = k_{s+1} = b+4 \end{cases}$



$$\text{ただし } \left. \begin{array}{l} S \geq 2 \\ b \geq 1 \end{array} \right\} \begin{array}{l} \text{(A)} \\ \text{(B)} \end{array} \left. \begin{array}{l} m_1 = \dots = m_s = b+1 \\ k_1 = b+1, k_2 = \dots = k_s = b \end{array} \right\}$$

逆に、complete non-sing. surface  $F$  が relatively minimal 又は  $F_2$  (c.f. Nagata [13]) として、 $F \supset E = \bar{C}_1 \cup \bar{C}_2$  ( $C_i$  は irr. rat. curve. として)  $E$  の minimal normal resol. の graph が (A) 又は (B) のような graph であれば、 $A^2 \cong F - E$  であり、これは normalized embedding である。  
 [注] (A) 又は (B) の場合には、 $C_1$  及び  $C_2$  の部分を contract すると、Morrow [1] にある graph が得られる。従って、次の lemma より、Th. 3 の “逆に...” は示された。

或いは example 4 のように直接確かめることもできる。

Lemma 4. Morrow [1] の結果は  $\text{char } p > 0$  としても正しい。

即ち、non-sing. <sup>rat.</sup> proj. surface  $F$  上に、次の性質 (1), (2) をもつ curve  $E$  があるとする。(1)  $E$  は normal crossing.  $E$  の  $\mathbb{C}$  の component  $C \cong \mathbb{P}^1$ .

(2)  $E$  が唯一種の例外曲線を含むなら、その curve  $C$  を contract すると  $\text{cont}_C E$  は normal crossing である。

この時、 $F - E \cong A^2 \Rightarrow E$  の graph は Morrow [1] の graph と一致する。

⊙  $F \sim_{\text{bir}} \mathbb{P}_k^2$  となる。  $\mathbb{P}_k^2$  から  $A_k^2$  の外側で blow up blow down をくりかえして、 $F$  が得られる。それに対応する操作を  $\mathbb{P}_C^2$  に行うと、 $F/C$  なる rat. surface  $T$ 、 $F_C - A_C^2$  の graph が  $E$  の graph と同じ形をもつものが得られる。この  $F_C$  に Morrow [1] を適用。

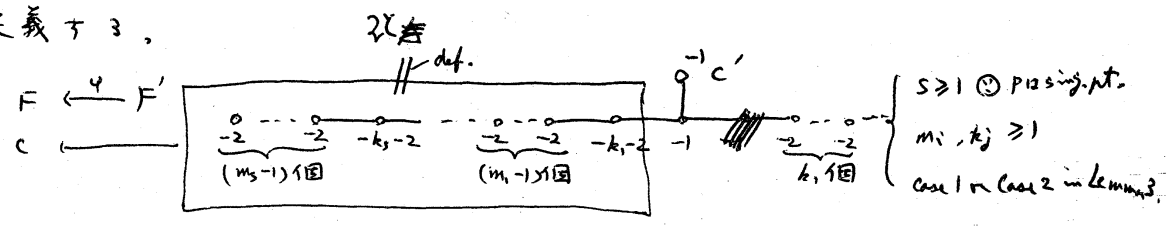
"逆に..." について:  $E$  の minimal normal resol.  $F \xrightarrow{\sigma} F$  にお  
 いて  $\sigma^{-1}(E)$  は  $Y$  の component  $\ell \cong \mathbb{P}^2$  である. <sup>対応する</sup> (a), (b) の diagram の  $C, U \square$   
 を contract して, cont  $\sigma^{-1}(E)$  の graph は Morrow [1] にある graph と  
 同一のものである. よって, (Morrow [1] embedding)  $\rightarrow \mathbb{P}^2$  への  
 map を blow up, blow down に分解して  $\sigma$  が cont  $F'$  に適用すると  
 non-sing. proj. surface  $G \supset \ell$  であり,  $G - \ell \cong F - E$ ,  $\ell \cong \mathbb{P}^1$ ,  $\ell^2 = 1$   
 なるものが得られる. このように  $\ell$  を含む  $G$  は ruled (cf. Zariski [1]).  
 しかも, もし  $G$  が non-rat. ならば  $G$  上には self int.  $> 0$   
 なる rat. curve は存在しない. よって  $G$ , 従って  $F$  は rational. よって  
 $\text{Pic } F = \mathbb{Z}^v$  ( $v=1$  or  $2$   $v=1 \Rightarrow F = \mathbb{P}^2$ ,  $v=2 \Rightarrow F$  rat. ruled (cf. Nagata [1]))  
 とおくと,  $\text{Pic } G = \mathbb{Z}^{v-1} \therefore v-1 \geq 1 \therefore v=2 \therefore F$  rat. ruled,  
 $G \cong \mathbb{P}^2 \therefore G - \ell = \mathbb{A}^2 \cong F - E$  a. E. D.

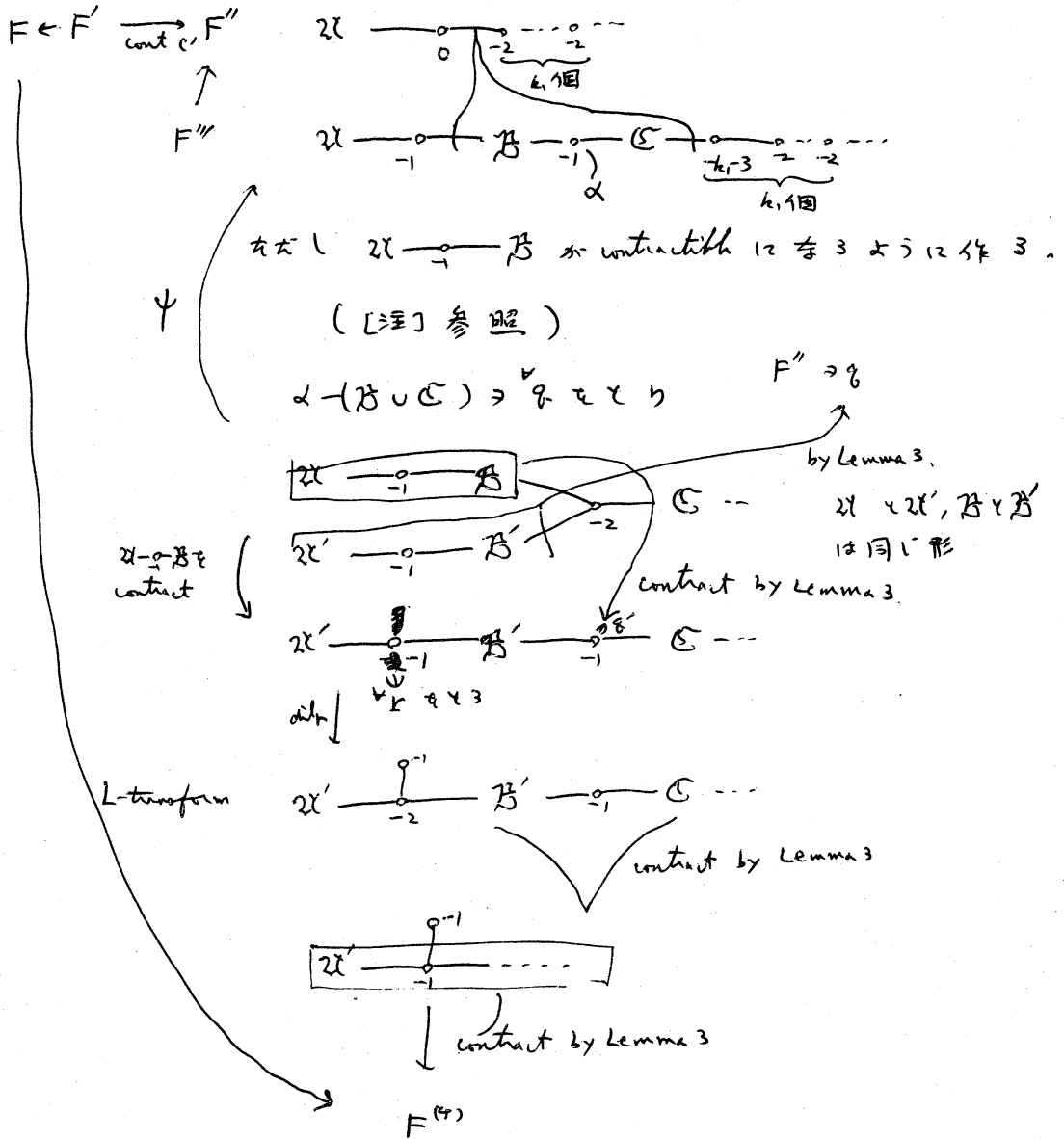
定義 4:  $F$  を proj. non-sing. surface とし,  $C \subset F$  (irr. curve) が  $(*)_2$

- をみたすとする,  $(*)_2$   $\left\{ \begin{array}{l} (1) C \text{ は rat. curve であり, 唯 1 の sing. pt. } P \text{ をもち} \\ P \text{ は one-plau pt.} \\ (2) C \text{ の min. normal resol. } F' \xrightarrow{\varphi} F \text{ である.} \\ \varphi^{-1}(P) \text{ の graph は linear, } \varphi^*[C] \text{ の self int. } = -1 \end{array} \right.$

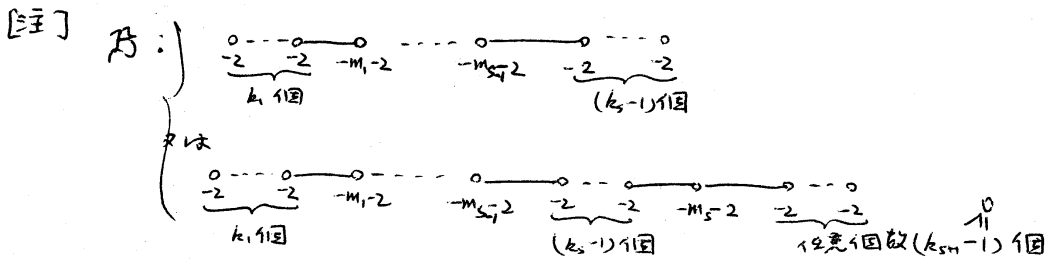
この時  $R$ - $(L)$ -transform w.r.t.  $C$  なる bir. con. を次のように

定義する,





R-transform は、右半分に ~~同様に~~ 同様に操作をしたものである。

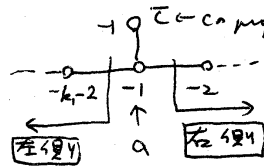


乃  $\frac{1}{-1} \subset \in$  作3 step 7 は  $k_{\text{min}}$  の choice (高々 countable) しか  
 なく、 $\varphi$  と dil $_n$  の  $\mathbb{P}^1$  uncountable の任意性がある。  
 定義から直ちに次の事が得られる。

- Lemmas.  $F$ : projective non-sing. surface  $\supset C$  in. curve  $\in (*_2) \in$   
 みたし、birat. con.  $F \xrightarrow{\varphi} F'$   $\in L-(R-)$  transformation w.r.t.  $C$   $\times C$   
 $C' = \varphi(C)$   $\in \text{A.C.}$   $\times$
- (1)  $\varphi|_{F-C}: F-C \xrightarrow{\sim} F'-C'$   $(C, C) = (C', C')$
  - (2)  $C'$  も  $(*_2) \in$  みたし、 $\varphi^{-1}$  は  $L-(R-)$  transform w.r.t.  $C'$
  - (3)  $F' \xrightarrow{\psi} F''$   $\exists$  birat. con.  $\in L-(R-)$  transform w.r.t.  $C'$   $\times$   
 $\exists$   $\psi \circ \varphi: F \rightarrow F''$   $\in L-(R-)$  transform w.r.t.  $C$

bir. con. 6 (\$)  $S \xrightarrow{i} F$   $\in$  non-sing. surface  $S$  の proj. non-sing. surface  $F$   $\wedge$  の  
 embedding  $\times C$ ,  $F-S = C \cup D$ ,  $C, D$  は in. curve  
 $C$  は  $(*_2)$  を満たす  $\times$   $\exists$   $\exists$ .

$C$  の min. normal ~~transform~~ resol. の graph (c.f. 定義 2 [理])  $\in$



Case R:  $\bar{D} \cap \boxed{\text{左側}} = \emptyset$

$\bar{D}$  は  $(\boxed{\text{右側}}) \cup \bar{C} \cup \bar{A}$  の  $\exists$  component

$\times$  mult. intersection mult.  $\geq 2$  で変わった。

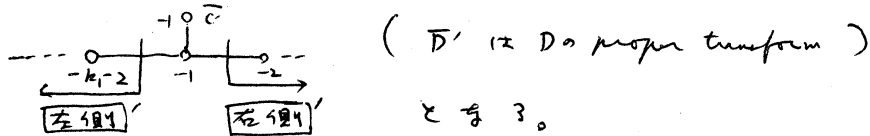
Case L:  $\bar{D} \cap \boxed{\text{右側}} = \emptyset$ ,  $\bar{D}$  は  $(\boxed{\text{左側}}) \cup \bar{C} \cup \bar{A}$  の  $\exists$  component  $\times$  mult.  $\geq 2$

$\times$  変わった,  $\times$  いう 2 つの場合を考える。

$\varphi: F \rightarrow F' \in \text{case R (case L)}$  なる  $R$ - ( $L$ -)transform w.r.t.  $C$  である。

$$C' = \varphi(C), \quad D' = \varphi[D]$$

この時、 $C'$  の min. normal resol. の graph は、以下の場合にも



Lemma 7 (1) case R には  $\bar{D}' \cap \boxed{\text{右側}}' = \emptyset$ 、 $\bar{D}'$  は  $\boxed{\text{左側}}' \cup \alpha'$  のある component) と mult.  $\geq 2$  で交わる。  $D'$  は  $(*)_1, (*)_2$  共に満たさない。

case L                      "                      左側                      "                      右側                      "  
 "    "    "    "

(2) Th. 3 の  $\text{case (x)}$  の  $L$ -transform w.r.t.  $(C_1, \alpha_1)$  又は  $(C_2)$  を行なっても、得られる embedding  $A^2 \hookrightarrow F'$  はやはり normalized embedding  $\tau: F - A^2, F' - A^2$  の minimal normal resol. の graph は全く同じ形をしていて、case (R) なら  $R$ -transf. について同様の事が言える。

Th. 4  $A^2 \xrightarrow{g_0} F$  ( $F$  は rat. ruled surface) を embedding  $\chi$  ( $F - A^2$  の comp. は 2 つとも sing. pt. をもつ) とする。この時、次のような embeddings  $A^2 \xrightarrow{g_i} F^{(i)}$  ( $F^{(i)}$  は rat. ruled)  $i=0, \dots, r$  が存在する。

- (1)  $g_0$  は normalized embedding (r.t. Th. 3) ,  $g_r = g$
- (2)  $A^2 \xrightarrow{g_i} F^{(i)}$   $r-1 \geq i \geq 0$  ,  $F^{(i)} - g(A^2) = C^{(i)} \cup D^{(i)}$  とおくと、  
 $\begin{matrix} A^2 & \xrightarrow{g_i} & F^{(i)} \\ & \searrow \downarrow h_{i+1} & \\ & & F^{(i+1)} \end{matrix}$   $C^{(i)}$  は  $(*)_2$  を満足し、 $h_{i+1}$  は  $(R$ -又は  $L$ -[(3) 7-2-2]) transf. w.r.t.  $C^{(i)}$  ,  $h_{i+1}(C^{(i)}) = C^{(i+1)}$  ,  $h_{i+1}[D^{(i)}] = D^{(i+1)}$

(3)  $g_0$  が Th. 3 の  $\text{case (x)}$  なる  $h_1, h_2, h_3, \dots$  は  $R, L, R, L, \dots$

Case (B) 存在  $L, R, L, R, \dots$  存在。

この性質をもつ分解  $g = h_1 \circ \dots \circ h_n \circ g_0$  を standard 分解と呼ぶ。

Th. 5 Th. 4 の下で  $g$  の 2 つの standard 分解  $h_1 \circ \dots \circ h_n \circ g_0$ ,  
(もう1つは 'とって表わす。') が与えられたとき、 $r=r'$ 。

すなわち  $A^2 \xrightarrow{g_i} F^{(i)}$  を考える。  
 $\begin{matrix} \searrow \downarrow \delta_i \text{ bir. con.} \\ g_i \rightarrow F^{(i)} \end{matrix}$   $\widehat{F}^{(i)} (\widehat{F}^{(i)})$  を  $F^{(i)} - A^2 (F^{(i)} - A^2)$  の min. normal

resolution と ~~して~~  $\widehat{C}^{(i)} (\widehat{C}^{(i)})$  をそれら  $\widehat{F}^{(i)}$  による proper transform とする。

すると、 $\widehat{C}^{(i)}, \widehat{C}^{(j)}$  は共に contractible  $\text{cont}_{\widehat{C}^{(i)}} \widehat{F}^{(i)} \xrightarrow{\sim} \text{cont}_{\widehat{C}^{(j)}} \widehat{F}^{(j)}$  は isomorphism. 特に、 $g_0$  の type (この case に属するか、 $s, b$  値) は分解のしかたによらない。

[注]  $\delta_i$  が isom. であるとは限らない。

§ 3. 一般的存注意

定義 5. curve  $C$  が loop を有するとき

$C = \bigcup_{i=1}^n C_i$  を in. component への分解とするとき  
 $n=1$  なら  $C_i$  は one-place pt. なる sing. pt. をもつ  
 $n \geq 2$  なら  $C_i$  の番号を適当につけかえて、

$$C_i \cap C_{i+1} \ni \exists P_i \quad \text{for } 0 \leq i \leq n-1$$

$$C_n \cap C_1 \ni \exists P_n$$

$P_1, \dots, P_n$  は互に相異なる。

Prop. 1  $S_0 \xrightarrow{\iota_0} F_0$  is alg. surface  $S_0$  の non-sing. proj. surface  $F_0$  への embedding  $\iota_0$   $F_0 - S_0 = \cup l_i$  is 一種の例外曲線  $\tau$  なる irr. curve  $\tau$  である。この時 " $l_i$  ~~is~~ <sup>rational</sup>  $\iff (l_i, l_i) \geq 0$ "  $\tau$  なければ、  
 $\forall$  embedding  $S_0 \xrightarrow{\iota} F$  ~~is~~ (non-sing. proj. surface) ~~is~~ に対して  
 $F \xrightarrow{\tau_0 \circ \iota^{-1}} F_0$  is morphism. i.e.  $F$  は  $F_0$  から  $S_0$  の外側を blow-up する  $\tau$  により得られる。

①  $F_0 \xrightarrow{\tau_0^{-1}} F$  birat. con.  $F_0 \rightarrow F$  の excep. locus はもしある  $\tau$  なければ  $l_i$   $\tau$  なければ存在しない。  $l_i$  は一種  $\tau$  であるから、 $\tau$  2 種、従って rational  $\iff$  self-intersection  $\geq 0$   $\tau$  なければ存在しない。これは不合理。  
 よって excep. locus =  $\emptyset$  (c.f. Zariski [1])  
 $\Rightarrow F \rightarrow F_0$  is morphism Q.E.D.

Prop. 2 Prop. 1 の下  $l_i \cong \mathbb{P}^1$   $\iff (l_i, l_i) \geq 0$   $\tau$  である。

$S_0 \hookrightarrow F$  is non-sing proj. surface への任意の embedding  $\tau$  である

$\Rightarrow$  (1)  $F - S_0$  は loop を含まない

(2)  $F - S_0$  は normal crossing  $\tau$  ない点はないか左か一点。

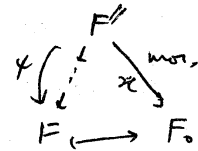
(3)  $\forall$  component of  $F - S_0$  は rational  $\tau$  高さ 1 個の sing. pt. ~~を~~  $\tau$  かつのみ。しかもそれは one-plain pt.

② もし  $F - S_0$  は loop を含めば、 $F - S_0$  の pt.  $\tau$  blow up するから  $F - S_0$  の一種の例外曲線  $\tau$  に対して  $F$  を得た  $\tau$  しても

$F' - S_0$  はやはり loop を含む。

② ③ ④ 今  $F$  と  $F_0$  は birat. だから、 $F_0$  から  $S_0$  の外側で blowup  
blowdown をくり返して  $F_0$  を得る。よってもし  $F - S_0$  が loop を  
含むば  $F_0 - S_0$  も loop を含むことになる矛盾。 ① のかわり

(2)  $F \xrightarrow{\sigma} F_0$  なる bir. con. の fun. pt. は  $F_0 - S_0 = l_0$  に dominate  
される。よって fundamental pt. は高々一点。そこで  $F$  から  
始めて、 $F_0$  への対応の fundamental pt. を blow up して  $F'$  と  
 $F'$  から  $F_0$  を dom. する  $\tau$  とする。



$$\text{よって } \exists p \in F \quad F' - \tau^{-1}(p) \xrightarrow{\sim} F - p$$

$$\text{よって } F - S_0 - p \subset \tau^{-1}(l_0) \subset F'$$

$l_0$  は non-singular だから  $\tau^{-1}(l_0)$  は normal crossing (r.f. Zariski [13]).

∴  $F - S_0$  は  $p$  以外で normal crossing.

(3)  $F - S_0$  の component は  $\tau^{-1}(l_0) \subset F'$  の component と見て、 $\tau$  による  
rational. 残りは (1), (2) から明らか。 Q.E.D.

Prop. 3  $\mathbb{A}^2 \hookrightarrow F$  は non-sing. <sup>rat.</sup> proj. surface  $\wedge$  の埋め込みとし

$$F - \mathbb{A}^2 = \bigcup_{i=1}^n C_i \text{ 互に異なる curve } \wedge \text{ の分解とする.}$$

$$\text{この時 } \text{Pic } F \cong \mathbb{Z}^{\oplus n} \text{ ( } C_i \text{ の generator )}$$

$$\text{よって特に, } F \text{ は ruled surface } \Leftrightarrow n=2.$$

$$\textcircled{1} F \text{ の divisor } D \text{ があるとき } D|_{\mathbb{A}^2} = (d)|_{\mathbb{A}^2}$$

$$(\exists d \in K(F) \quad \textcircled{2} \mathbb{A}^2 \text{ の coord. ring は u.f.d.})$$

$$\therefore D - (d) = \sum_{i=1}^n m_i C_i$$

$$\text{逆に } (f) = \sum_{i=1}^n x_i C_i \quad f \in K(F) \text{ かつ } \exists x$$

$$(f)|_{A^2} = 0 \quad \therefore f \text{ は } A^2 \text{ 上 } \tau \text{ unit } \therefore f = \text{constant}$$

$$\therefore (f) = 0 \quad \therefore m_i = 0 \text{ for } 1 \leq i \leq n$$

後半は  $\tau$  の  $\tau$  は (c.f. Nagata [1])

### 文献表

J. A. Morrow : Compactifications of  $\mathbb{C}^2$

Bull. of Amer. Math. Soc. Vol. 78 No. 5 1972 p813 ~ 816

M. Nagata [1] : On rational surfaces I.

Mem. of Coll. Science. Univ. of Kyoto No. 3 1960

[2] : On rational surfaces II.

Mem. of Coll. Science. Univ. of Kyoto No. 2 1960

[3] : On Automorphism group of  $k[x, y]$

~~Publ.~~ Dept. of Math. Kyoto Univ.

O. Zariski : Introduction to the problem of minimal models.

Publ. Math. Soc. Japan 4 (1958)